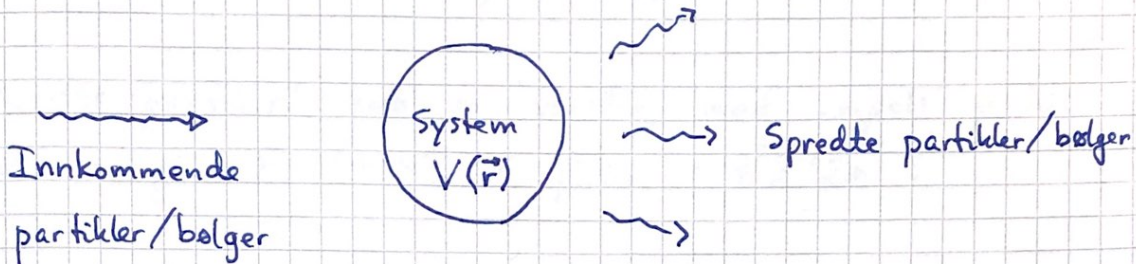


## Spredning i én dimensjon

Spredning har mange anvendelser:



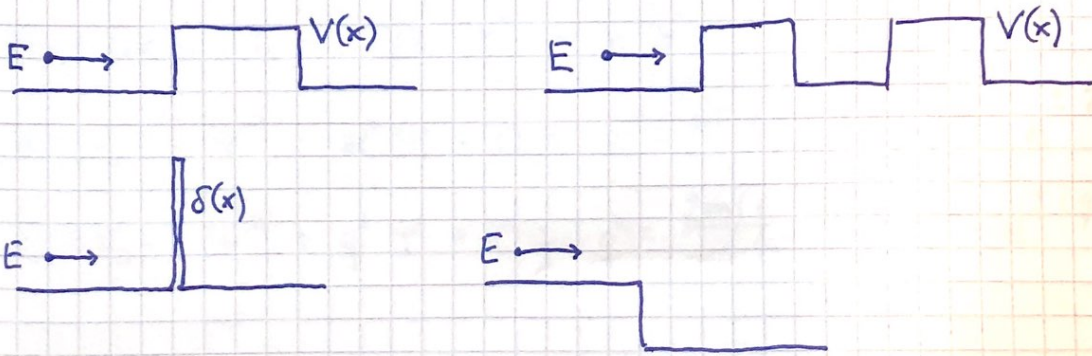
Röntgen (fotoner), ultralyd (lydbølger), TEM (elektronmikroskop), ARPES (angle resolved photo-emission spectroscopy; fotoelektrisk effekt), SANS (small-angle neutron scattering)...

Spredning i fysikkemner:

- |          |                               |      |
|----------|-------------------------------|------|
| TFY 4345 | Klassisk mekanikk             | (3H) |
| TFY 4220 | Faste stoffers fysikk         | (3V) |
| TFY 4205 | Kvantmekanikk 2               | (4H) |
| TFY 4320 | Fysikk i medisinsk aubildning |      |

:

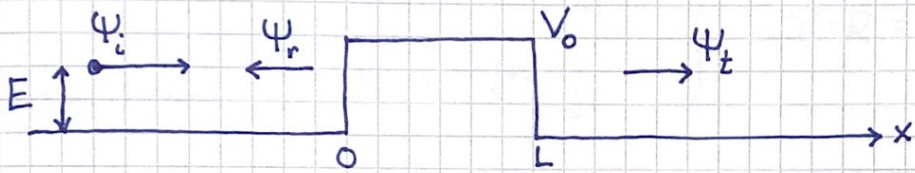
TFY 4215 : Enkle modellpotensialer i 1D; elastisk spredning,



Bruker firkantbarriere som konkret eksempel, dvs

$$V(x) = \begin{cases} V_0 & ; 0 < x < L \\ 0 & ; \text{ellers} \end{cases}$$

Sender partikkel inn fra venstre, med impuls  $p=\hbar k$   
og energi  $E (=K) = p^2/2m = \hbar^2 k^2/2m$ :



Spredning med to mulige utfall,  
refleksjon med sanns. R  
transmisjon med sanns  $T = 1 - R$

Bølge inn:  $\Psi_i(x) = e^{ikx}$

Bølge refl.:  $\Psi_r(x) = r e^{-ikx}$

$\Rightarrow$  Bølgefunktjon for  $x < 0$ :

$$\Psi(x) = \Psi_i(x) + \Psi_r(x) = e^{ikx} + r e^{-ikx}$$

Bølge transm.:  $\Psi_t(x) = t e^{ikx} \quad (x > L)$

For  $0 < x < L$ :  $-\frac{\hbar^2}{2m} \Psi'' + V_0 \Psi = E \Psi$

$E < V_0$ :  $\Psi'' - \frac{2m}{\hbar^2} \Psi = 0$ ;  $\frac{2m}{\hbar^2} = \frac{2m(V_0-E)}{\hbar^2}$ ;  $\Psi \sim e^{\pm iqx}$

$E > V_0$ :  $\Psi'' + \frac{2m}{\hbar^2} \Psi = 0$ ;  $\frac{2m}{\hbar^2} = \frac{2m(E-V_0)}{\hbar^2}$ ;  $\Psi \sim e^{\pm iqx}$

(59)

Bevaring av sannsynlighet :

$$\text{Sanns. strøm inn} = \text{Sanns. strøm ut}$$

$$j_i = |j_r| + j_t \quad (j_r < 0, \text{ mot venstre})$$

med  $j = \operatorname{Re} \left\{ \Psi^* \frac{\hbar}{im} \frac{d}{dx} \Psi \right\}$

$$\begin{aligned} \text{Transm. sanns. : } T &= \frac{j_t}{j_i} \\ \text{Refl. sanns. : } R &= |j_r| / j_i \end{aligned} \quad \left. \begin{array}{l} T+R=1 \\ \hline \end{array} \right.$$

De ulike sanns. strømmene :

$$j_i = \operatorname{Re} \left\{ e^{-ikx} \frac{\hbar}{im} ik e^{ikx} \right\} = \frac{\hbar k}{m}$$

$$j_r = \operatorname{Re} \left\{ r^* e^{ikx} \frac{\hbar}{im} (-ik) r e^{-ikx} \right\} = -|r|^2 \frac{\hbar k}{m}$$

$$j_t = \operatorname{Re} \left\{ t^* e^{-ikx} \frac{\hbar}{im} ik t e^{ikx} \right\} = |t|^2 \frac{\hbar k}{m}$$

$$\Rightarrow R = |r|^2, \quad T = |t|^2$$

Skarp energi E innebærer stasjoner (sprednings-) tilstand med tidsuavhengig  $\Psi$  og posisjonsuavhengig  $j$  :

$$\begin{aligned} j(x<0) &= \operatorname{Re} \left\{ (e^{-ikx} + r e^{ikx}) \frac{\hbar}{im} ik (e^{ikx} - r e^{-ikx}) \right\} \\ &= \frac{\hbar k}{m} (1 - |r|^2) + \frac{\hbar k}{m} \operatorname{Re} \left\{ r^* e^{2ikx} - r e^{-2ikx} \right\} \\ &= \frac{\hbar k}{m} (1 - R) + \frac{\hbar k}{m} \operatorname{Re} \left\{ 2i \operatorname{Im} (r^* e^{2ikx}) \right\} \\ &= \frac{\hbar k}{m} \cdot T = j(x>L) ; \quad \text{OK!} \end{aligned}$$

(60)

Anta, for  $0 < x < L$ ,  $\Psi(x)$  på formen

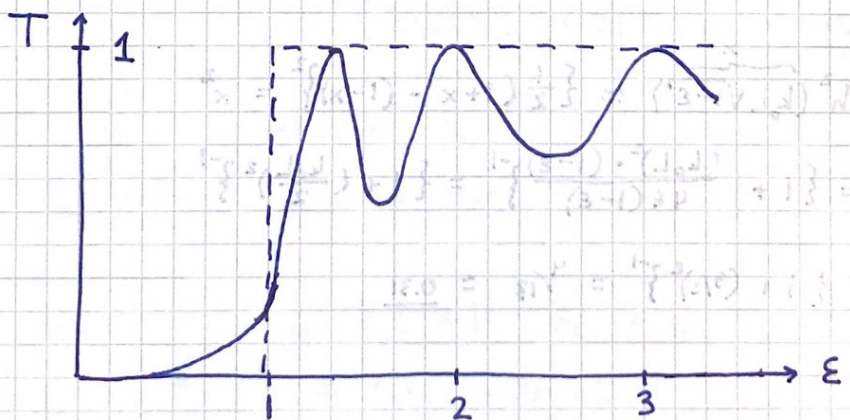
$$\Psi(x) = \begin{cases} A e^{j \epsilon x} + B e^{-j \epsilon x} & ; E < V_0 \\ a e^{i q x} + b e^{-i q x} & ; E > V_0 \end{cases}$$

Kontinuerlige  $\Psi$  og  $\Psi'$  i  $x=0$  og  $x=L$  gir

$$\left[ 1 + \frac{\sinh^2(k_0 L \sqrt{1-\epsilon^2})}{4\epsilon(1-\epsilon)} \right]^{-1} ; \epsilon < 1$$

$$T = |t|^2 = \left[ 1 + \frac{\sin^2(k_0 L \sqrt{\epsilon-1})}{4\epsilon(\epsilon-1)} \right]^{-1} ; \epsilon > 1$$

Her er  $k_0 = \sqrt{2mV_0}/\hbar$  og  $\epsilon = E/V_0$



Klassisk (---) :  $T = \begin{cases} 0 & ; \epsilon < 1 \\ 1 & ; \epsilon > 1 \end{cases}$

Belyser noen poeng med konkret eksempel

a la tidligere gitte eksamensoppgaver.

(61)

Eks: Anta  $V_0 = 230 \text{ meV}$ ,  $m = 0.067 m_e$   
og  $L = 47 \text{ \AA}$ .

- Bestem  $T$  når  $E = 23 \text{ meV}$ .
  - Vis at  $T \approx 16\varepsilon \cdot \exp(-2k_b L)$  når  $\varepsilon \ll 1$  ( $E \ll V_0$ ) og  $k_b L \gg 1$ .
  - Hvor stor blir feilen med  $T$  som i b) og  $E$  som i a)?
  - Hva er  $T$  når  $E = V_0$ ?
  - Hvilke verdier av  $K$  ( $= E - V_0$ ) og  $\lambda$  på  $0 < x < L$  gir  $T = 1$ ?
- 

a) Her er  $k_b = \sqrt{2mV_0}/\hbar = 0.638 \text{ nm}^{-1}$ , dvs  
 $k_b L = 0.638 \cdot 4.7 = 3.00$ , og  $\varepsilon = E/V_0 = 0.1$   
 $\Rightarrow T = \left\{ 1 + \sinh^2(3 \cdot \sqrt{0.9}) / 4 \cdot 0.1 \cdot 0.9 \right\}^{-1} \approx \underline{\underline{0.0049}}$

[Poeng: Partikkelen har en viss sanns. for å tunnelere gjennom det klassisk forbudte området.]

b) Hvis  $\varepsilon \ll 1$  og  $k_b L \gg 1$ , er sinnh( $k_b L \sqrt{1-\varepsilon}$ )  $\approx \frac{1}{2} e^{k_b L} \gg 1$   
og  $4\varepsilon(1-\varepsilon) \approx 4\varepsilon$ , slik at  
 $T \approx \left\{ \frac{1}{16\varepsilon} e^{2k_b L} \right\}^{-1} = 16\varepsilon e^{-2k_b L} \ll 1$

[Poeng:  
Enklere formel.]

c) Her:  $T \approx 1.6 \cdot \exp(-6) \approx \underline{\underline{0.0040}}$ ,  
en feil på ca 18 %. (Skyldes først og fremst at vi  
satte  $\sqrt{1-\varepsilon} \approx 1$  i argumentet til sinh-funksjonen.)

d) Når  $\varepsilon \rightarrow 1$ , er  $\sinh^2(k_b L \sqrt{1-\varepsilon}) = \sin^2(k_b L \sqrt{\varepsilon-1}) = (k_b L)^2 \cdot |\varepsilon-1|$   
slik at  $T = \left\{ 1 + (k_b L/2)^2 \right\}^{-1}$ . Med  $k_b L = 3$  blir  $\underline{\underline{T = 4/13}}$

$$e) T=1 \text{ når } \varepsilon > 1 \text{ og } \sin(k_0 L \sqrt{\varepsilon-1}) = 0 \quad (62)$$

$$\Rightarrow k_0 L \sqrt{\varepsilon-1} = n\pi \quad (n=1, 2, \dots)$$

$$\Rightarrow \frac{2mV_0}{\hbar^2} \cdot \left( \frac{E}{V_0} - 1 \right) = \left( \frac{n\pi}{L} \right)^2$$

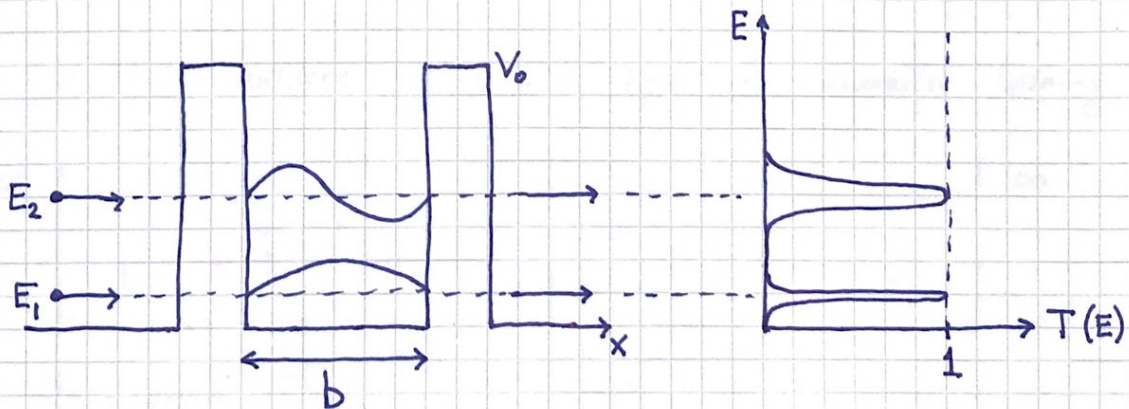
$$\Rightarrow E - V_0 = K = \underline{\underline{\frac{(n\pi\hbar/L)^2}{2m}}}$$

$$\Rightarrow p = h/\lambda = 2\pi\hbar/\lambda = n\pi\hbar/L$$

$$\Rightarrow \underline{\lambda_n = 2L/n}$$

Poeng: Stående bølger på barrierefeltet  $0 < x < L$ .  
Resonansfenomen!

Resonant tunnelering:



Resonans og stående bølger i "brønnen" mellom

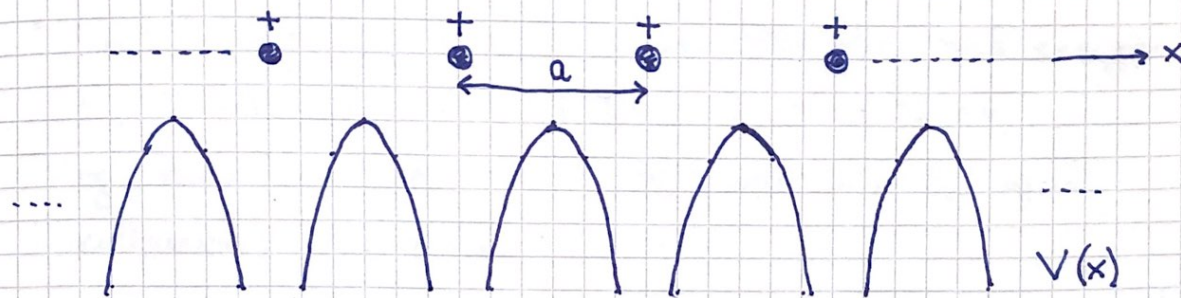
barrirene gir  $T = 1$  når  $\lambda_n = 2b/n$ , dvs

$$E_n = K_n = \frac{\hbar^2 k_n^2}{2m} = \frac{\hbar^2}{2m} \left( \frac{2\pi}{\lambda_n} \right)^2 = \frac{n^2 \pi^2 \hbar^2}{2m b^2} \quad (n=1, 2, \dots)$$

(63)

## Krystaller, periodisk potensial, og realisering av barriper og brønner i halvledere

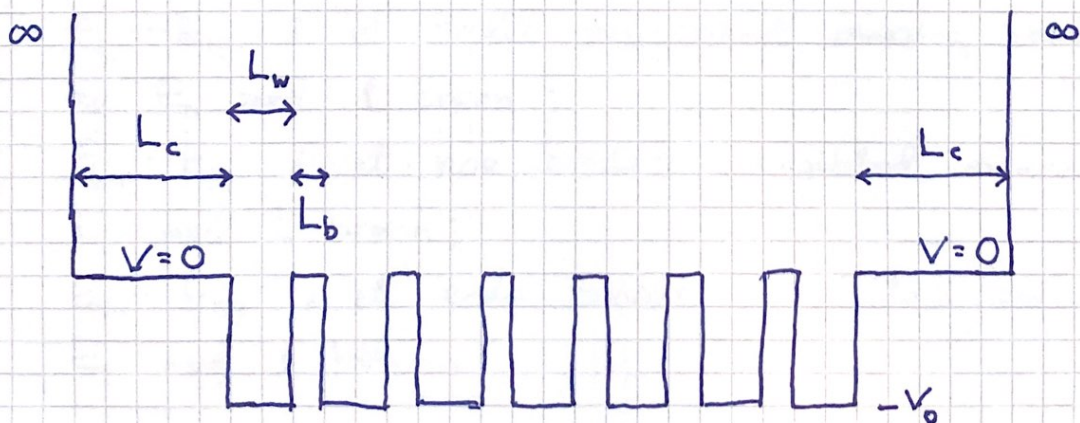
Et elektron i en regulær krystall "ser" et periodisk potensial:



$$\text{dvs } V(x + j \cdot a) = V(x) ; -\infty < j < \infty$$

$a$  = gitterkonstant

En enda enklere 1D modell, egnet for numerisk løsning:



$$\text{gitterkonstant } a = L_w + L_b$$

$N_A$  = antall "atomer" (dvs brønner)

$L_k \approx N_A \cdot a = \text{kristallen's utstrekning}$

[strengt tatt:  $L_k = N_A \cdot L_w + (N_A - 1) \cdot L_b$ ]

(64)

Programmet periodisk.py plottet  $V(x)$  og  $E$  for bundne tilstander ( $E < 0$ ), samt en "valgbar"  $\Psi(x)$ , med  $V_0 = 14 \text{ eV}$ ,  $L_w = 4 \text{ \AA}$ ,  $L_b = 2 \text{ \AA}$  (dvs  $a = 6 \text{ \AA}$ ) og  $L_c = 50 \text{ \AA}$ .

Noen observasjoner :

- $N_A = 1$  brønn gir her 3 bundne tilstander, med energier  $E_0 = -12.54 \text{ eV}$ ,  $E_1 = -8.33 \text{ eV}$ ,  $E_2 = -2.16 \text{ eV}$  og tilhørende  $\Psi_0$ ,  $\Psi_1$  og  $\Psi_2$  med hhv 0, 1 og 2 nullpunkter, som ventet.
- $N_A = 2$  brønner gir  $2 \cdot 3 = 6$  bundne tilstander, med  $E_0$  og  $E_1$  nær  $-12.54 \text{ eV}$  ( $E_0$  med 1 brønn);  $E_2$  og  $E_3$  nær  $-8.33 \text{ eV}$  ( $E_1$  — " — );  $E_4$  og  $E_5$  "nær"  $-2.16 \text{ eV}$  ( $E_2$  — " — )
- $N_A = 20$  brønner gir  $20 \cdot 3 = 60$  bundne tilstander, med  $E_0 \dots E_{19}$  i et smalt energibånd omkring verdien av  $E_0$  med 1 brønn;  $E_{20} \dots E_{39}$  i et noe bredere energibånd omkring  $E_1$  med 1 brønn;  $E_{40} \dots E_{59}$  i et enda bredere energibånd omkring  $E_2$  med 1 brønn

Bølgefunktjonene : Periodisk funksjon  $u(x)$ , dvs slik at  $u(x + j \cdot a) = u(x)$ , modulert med stående bølger med bølgelengde  $2L_k$ ,  $L_k$ ,  $2L_k/3$ , ..., dvs :

$$\Psi_n(x) = u(x) \cdot \sin(k_n x) ; k_n = \frac{n\pi}{L_k} ; n = 1, 2, 3, \dots$$

(65)

Med  $N_A \rightarrow \infty$  er sanns. tettheten periodisk,

$$|\Psi(x + j \cdot a)|^2 = |\Psi(x)|^2$$

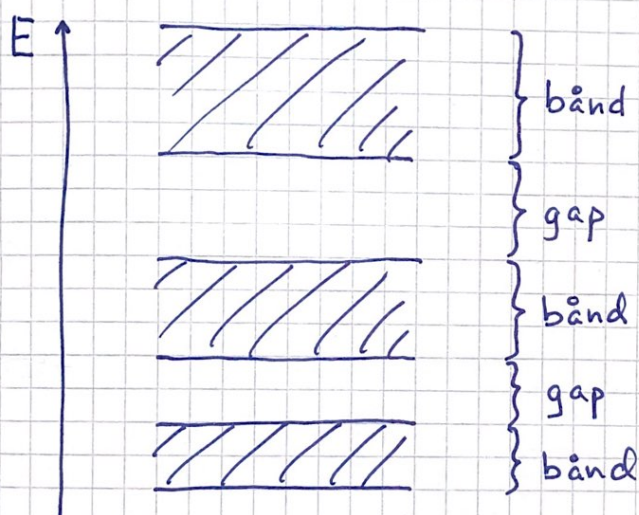
og bølgefunktjonene på formen

$$\Psi(x) = e^{ikx} \cdot u(x); \quad u(x + j \cdot a) = u(x)$$

(Blochs teorem)

Vi har "nesten plane bølger" og "nesten frie elektroner"!

Kontinuerlige energibånd er adskilt med forbudte energigap:



$N_A$  atomer i krystallen  $\Rightarrow N_A$  romlige tilstander pr energibånd.

Elektroner har "indre dreieimpuls" - spinn - som er kvantisert:

$$S = |\vec{S}| = \sqrt{s(s+1)} \hbar; \quad s = \frac{1}{2}$$

Måling av en komponent, f.eks.  $S_z$ , gir enten  $+\hbar/2$  eller  $-\hbar/2$ .

Dvs: Et elektron kan være i to spinstilstander, (66)

$\chi_+$  (med spinn "opp";  $S_z = \hbar/2$ ) og  $\chi_-$  (med spinn "ned";  $S_z = -\hbar/2$ ).

Elektronets "totale tilstand" kombinerer den romlige delen (orbitalen)  $\Psi(x)$  og spinndelen  $\chi$ :

$$\phi(x; +) = \Psi(x) \chi_+$$

$$\phi(x; -) = \Psi(x) \chi_-$$

Konklusjon:  $2N_A$  unike tilstander pr energibånd

Elektroner er såkalte fermioner, og to fermioner kan ikke okkupere samme enpartikkeltilstand  $\phi$ .

(Pauliprinsippet; mer senere.)

Systemets grunntilstand tilsvarer lavest mulig total energi.

Oppnås med 2 elektroner i hver orbital (1 med spinn opp og 1 med spinn ned), fra laveste energi og oppover.

Antall energibånd som ikke overlapper.

Anta  $Z$  elektroner pr atom (eut. pr enhetscelle, dvs gruppen med atomer som gjentas periodisk og danner krystallen), dvs totalt  $Z \cdot N_A$  elektroner.

Hvis  $Z$  er oddetall:  $\frac{Z-1}{2}$  fulle energibånd, 1 halvfullt, resten tomme. Materiallet er et metall.